



Applied Geology -
Geotechnics
Environmental
Engineering

ΚΩΣΤΑΣ ΦΩΤΗ ΕΔΑΦΟΜΗΧΑΝΙΚΗ ΛΤΔ

ΕΡΓΑΣΤΗΡΙΟ ΕΦΗΡΜΟΣΜΕΝΗΣ ΓΕΩΛΟΓΙΑΣ

ΡΗΓΑ ΦΕΡΑΙΟΥ & ΑΝΤΡΕΑ ΖΑΚΟΥ ΚΑΤΑΣΤΗΜΑΤΑ 1&2
ΤΗΛ . 25-818822 99-621186 ΦΑΞ 25-818823
e-mail geology@cytanet.com.cy
www.geology.com.cy

ΘΕΜΑ: ΓΕΩΛΟΓΙΚΗ · ΓΕΩΤΕΧΝΙΚΗ ΕΡΕΥΝΑ ΓΙΑ ΤΗ ΔΙΑΚΡΙΒΩΣΗ ΤΩΝ ΣΥΝΘΗΚΩΝ ΤΟΥ ΥΠΕΔΑΦΟΥΣ ΣΤΟΝ ΧΩΡΟ ΤΗΣ ΣΚΟΠΟΥΜΕΝΗΣ ΑΝΑΠΤΥΞΗΣ ROOMZLY ΣΤΙΣ ΠΛΑΤΡΕΣ

Αναφέρομαι στο πιο πάνω θέμα και επιθυμώ να σας υποβάλω σχετική έκθεση σε δύο αντίγραφα.

Η έκθεση αυτή, που ετοιμάστηκε μετά από σχετική έρευνα που περιέλαβε μελέτη των γεωλογικών και γεωτεχνικών στοιχείων της ευρύτερης περιοχής, ανόρυξη γεωτρήσεων, επί τόπου και εργαστηριακές δοκιμές και αναλύσεις, αποτελεί εκτίμηση των συνθηκών του υπεδάφους στη τοποθεσία του έργου.

Από τα αποτελέσματα βγαίνει το συμπέρασμα πως ο χώρος προσφέρετε για το έργο, θα πρέπει όμως κατά το σχεδιασμό της θεμελίωσης να ληφθούν υπόψη τα μηχανικά χαρακτηριστικά των εδαφών.

Οι ειδικοί του γραφείου μας παραμένουν στην διάθεσή σας για οποιεσδήποτε διευκρινήσεις, επιπρόσθετες πληροφορίες και για μελλοντική συνεργασία. Ευχαριστούμε που μας εμπιστευθήκατε τη μελέτη.

Με εκτίμηση
ΚΩΣΤΑΣ ΦΩΤΗ
ΓΕΩΛΟΓΟΣ ΜΗΧΑΝΙΚΟΣ
ΑΡ.ΜΗΤΡΩΟΥ ΕΤΕΚ 43857

ΠΕΡΙΕΧΟΜΕΝΑ

- 1.0 ΕΙΣΑΓΩΓΗ
- 2.0 ΤΟΠΟΘΕΣΙΑ
- 3.0 ΕΚΤΕΛΕΣΘΕΙΣΑ ΕΡΓΑΣΙΑ
- 4.0 ΑΠΟΤΕΛΕΣΜΑΤΑ
 - 4.1. ΓΕΝΙΚΕΣ ΠΛΗΡΟΦΟΡΙΕΣ
 - 4.1.1. ΜΟΡΦΟΛΟΓΙΑ
 - 4.1.2. ΓΕΝΙΚΕΣ ΓΕΩΛΟΓΙΚΕΣ ΠΛΗΡΟΦΟΡΙΕΣ
 - 4.2. ΓΕΩΛΟΓΙΚΕΣ /ΓΕΩΤΕΧΝΙΚΕΣ ΣΥΝΘΗΚΕΣ ΤΟΥ ΥΠΕΔΑΦΟΥΣ ΣΤΟ ΧΩΡΟ ΤΟΥ ΕΡΓΟΥ
 - 4.2.1. ΓΕΩΤΕΧΝΙΚΑ ΧΑΡΑΚΤΗΡΙΣΤΙΚΑ ΤΟΥ ΥΠΕΔΑΦΟΥΣ
ΥΔΡΟΓΕΩΛΟΓΙΚΕΣ ΣΥΝΘΗΚΕΣ
ΣΥΝΘΗΚΕΣ ΕΚΣΚΑΦΗΣ
ΣΥΝΘΗΚΕΣ ΘΕΜΕΛΙΩΣΗΣ
- 5.0 ΣΥΜΠΕΡΑΣΜΑΤΑ- ΕΙΣΗΓΗΣΕΙΣ

ΣΧΕΔΙΑ

1. ΘΕΣΗ ΤΟΥ ΟΙΚΟΠΕΔΟΥ
2. ΘΕΣΗ ΤΩΝ ΓΕΩΤΡΗΣΕΩΝ ΚΑΙ ΤΩΝ ΓΕΩΛΟΠΚΩΝ ΤΟΜΩΝ
- 3,4. ΓΕΩΛΟΓΙΚΕΣ ΤΟΜΕΣ

ΠΑΡΑΡΤΗΜΑ

1. ΓΕΩΛΟΓΙΚΕΣ ΠΕΡΙΓΡΑΦΕΣ ΓΕΩΤΡΗΣΕΩΝ

1.0 ΕΙΣΑΓΩΓΗ

Η έκθεση αυτή παρουσιάζει τα αποτελέσματα της γεωλογικής /γεωτεχνικής έρευνας, που διεξάχθηκε κατά τον Σεπτέμβριο του 2021 από το γραφείο μας στο χώρο του σκοπούμενου έργου . Η ανάθεση της έρευνας έγινε από τον μελετητή.

Βασικός σκοπός της έρευνας ήταν η διακρίβωση :

- των γεωλογικών /γεωτεχνικών συνθηκών του υπεδάφους,
- των υδρογεωλογικών χαρακτηριστικών {στάθμη και ποιότητα των υπόγειων υδάτων, διαπερατότητα των διαφόρων εδαφολογικών οριζόντων},
- των μηχανικών χαρακτηριστικών των διαφόρων εδαφολογικών οριζόντων και
- των συνθηκών θεμελίωσης.

Τα πιο πάνω στοιχεία στόχο έχουν να βοηθήσουν τους μελετητές μηχανικούς του έργου να εκτιμήσουν τις συνθήκες του υπεδάφους στις ορθές τους διαστάσεις και να προχωρήσουν στην ετοιμασία του σχεδιασμού της θεμελίωσης του σκοπούμενου έργου .

2.0 ΤΟΠΟΘΕΣΙΑ

Ο χώρος μελέτης βρίσκεται ανατολικά του χωριού Πλάτρες. Η επακριβής θέση του τεμαχίου φαίνεται στο σχέδιο .



3.0 ΕΚΤΕΛΕΣΘΕΙΣΑ ΕΡΓΑΣΙΑ



Η έρευνα περιέλαβε τις πιο κάτω εργασίες:

- **Συλλογή και αξιολόγηση των διαφόρων γεωλογικών /γεωτεχνικών στοιχείων και πληροφοριών** που αφορούν την ευρύτερη περιοχή,
- **Ανόρυξη 6 γεωτρήσεων** βάθους 60 μέτρων. Όλες οι γεωτρήσεις ανορύχθηκαν με τη τεχνική open hole / destructive drilling σε συνδυασμό με επί τόπου δοκιμές προτύπου διεισδύσεως (standard penetration test – spt), που είναι γενικά παραδεκτό ότι δίνουν αξιόπιστες πληροφορίες για την φέρουσα ικανότητα των εδαφών. Οι γεωτρήσεις έχουν ανορύχθει με περιστροφικό γεωτρύπανο τύπου BERETTA T47 GEO το οποίο συμμορφώνεται προς τις ευρωπαϊκές οδηγίες. Οι δοκιμές SPT έχουν γίνει με ειδικό εξοπλισμό που πληρεί τις προδιαγραφές B5 5930
- **Εργαστηριακές δοκιμές και αναλύσεις** επιλεγμένων, αντιπροσωπευτικών δειγμάτων από τις γεωτρήσεις, που περιέλαβαν Κοκκομετρικές αναλύσεις, όρια Αττερμπεργκ, φυσική και ξηρή πυκνότητα, ειδικό βάρος, φυσική υγρασία. Σημαντικά στοιχεία, όσον αφορά τις ελαστικές ιδιότητες των εδαφών έχουν ληφθεί με βάση τις επί τόπου πρότυπες δοκιμές διείσδυσης που θεωρούνται ότι δίνουν πιο αξιόπιστα αποτελέσματα από τις εργαστηριακές δοκιμές για τις ιδιότητες αυτές.
- **Κοκκομετρικές Διαβαθμίσεις** Κοκκομετρικές διαβαθμίσεις έχουν γίνει σε διάφορα δείγματα, διαταραγμένα, με συνδυασμό υγρής κοκκομέτρησης και αραιομέτρου, σύμφωνα με τις απαιτήσεις των αγγλικών προτύπων BS 1377 (1990). Σαν διαλύτης - για αποκόλληση των κόκκων - στη δοκιμή με το αραιόμετρο χρησιμοποιήθηκε το εξαμεταφωσφορικό νάτριο.

- **Όρια ATTEMBERG** Οι δοκιμές αυτές έγιναν σύμφωνα με τις απαιτήσεις των αγγλικών προτύπων B5 1377 (1990). Τα όρια υδαρότητας καθορίζονται σύμφωνα με τη μέθοδο του κώνου διείσδυσης.
- **Αξιολόγηση** των αποτελεσμάτων, έκθεση. Με βάση τα αποτελέσματα τόσο των εργασιών υπαίθρου όσο και των εργαστηριακών δοκιμών και αναλύσεων αλλά και της μελέτης των γεωλογικών συνθηκών που επικρατούν στην ευρύτερη περιοχή έχει ετοιμαστεί η παρούσα έκθεση που αξιολογεί τις πληροφορίες που έχουν συγκεντρωθεί και καταλήγει στα ανάλογα συμπεράσματα και εισηγήσεις.

4.0 ΑΠΟΤΕΛΕΣΜΑΤΑ

4.1 Γενικές πληροφορίες

4.1.1 Μορφολογία

Ο υπό έρευνα χώρος είναι ορεινή με μεγάλες χαράδρες και πολύ απότομες κλίσεις.

4.1.2 γεωλογία

Από γεωλογικής σκοπιάς, η ευρύτερη περιοχή δομείται από **Τα πλουτώνια πετρώματα** είναι τα προϊόντα της κρυσταλλοποίησης και της συγκέντρωσης των κρυστάλλων των ορυκτών στο πυθμένα των μαγματικών θαλάμων, κάτω από τις ζώνες διεύρυνσης των λιθοσφαιρικών πλακών. Τα κύρια πλουτώνια πετρώματα του Τροόδους είναι ο δουνίτης, ο βερλίτης, ο πυροξενίτης και ο γάββρος, ενώ ο πλαγιογρανίτης απαντάται σε μικρές, ασυνεχείς εμφανίσεις. Μέσα στο μανδύα της γης δρουν θερμικά ρεύματα μεταφοράς μάζας και θερμότητας, τα οποία δημιουργούνται λόγω πλευρικών διαφορών της θερμοκρασίας. Οι διαφορές της θερμοκρασίας δημιουργούν ασταθείς καταστάσεις βαρύτητας και κατακόρυφη μεταφορά θερμού και ψυχρού υλικού. Στις περιοχές της ασθενόσφαιρας, όπου τα θερμικά ρεύματα ανέρχονται, μέρος του μανδύα της γης τήκεται σε βάθος περίπου 60 χιλιομέτρων και συνεχίζει να ανέρχεται σχηματίζοντας μαγματικούς θαλάμους σε βάθος 4 - 6 χιλιομέτρων κάτω από τον ωκεάνιο πυθμένα. Αυτοί οι μαγματικοί θάλαμοι αποτελούν στην πλειοψηφία τους ένα δυναμικό ανοικτό σύστημα στο οποίο εισέρχεται μάγμα από την τήξη του μανδύα και εξέρχεται μέσω καναλιών - τριφοδοτών δημιουργώντας ηφαιστειακές εκχύσεις λαβών στο θαλάσσιο πυθμένα. Το μάγμα μέσα στους θαλάμους ψύχεται λόγω διαρροής θερμότητας στα περιβάλλοντα πετρώματα καθώς και εισροής του υπερκείμενου θαλάσσιου νερού. Το αποτέλεσμα της πτώσης της θερμοκρασίας στους μαγματικούς θαλάμους είναι η έναρξη της κρυσταλλοποίησης. Τα πρώτα ορυκτά που κρυσταλλώνονται είναι ο ολιβίνης $(MgFe)2SiO4$ και ο χρωμίτης $FeCr2O4$, τα οποία και καθιζάνουν στον πυθμένα του μαγματικού θαλάμου σχηματίζοντας τα πετρώματα δουνίτη και συγκεντρώσεις χρωμίου.

Σε στρωματογραφικά ψηλότερα επίπεδα του θαλάμου, με την βαθμιαία πτώση της θερμοκρασίας, αρχίζει η κρυστάλλωση του ορυκτού κλινοπυρόξενος CaMgSi₂O₆, το οποίο, μαζί με τα προηγούμενα δύο ορυκτά δίδει το πέτρωμα βερλίτης. Στη συνέχεια κρυσταλλώνεται και το ορυκτό πλαγιόκλαστο (Ca,Na)(Al,Si)AlSi₂O₈ για να σχηματιστούν οι διάφοροι τύποι γάββρου. Το μάγμα που παραμένει είναι εμπλουτισμένο πλέον σε οξείδιο του πυριτίου (SiO₂) και με την κρυστάλλωσή του σχηματίζει το πέτρωμα πλαγιογρανίτης. Το τελευταίο συναντάται σε μικρές μάζες και συχνά διασχίζεται από διαβασικές φλέβες. Η πιο πάνω διεργασία της κλασματικής κρυστάλλωσης και διαφοροποίησης διακόπτεται επανειλημμένα από την εισροή νέου μάγματος στο μαγματικό θάλαμο, με αποτέλεσμα τη δημιουργία ρυθμικά επαναλαμβανομένων τύπων πετρωμάτων που αποτελούν στρωσιγενείς σειρές.

Η σειρά των πλουτώνιων πετρωμάτων εμφανίζεται σε δύο ξεχωριστές περιοχές του οφιολιθικού συμπλέγματος του Τροόδους, η πρώτη γύρω από την κεντρική κορυφή του Ολύμπου και η δεύτερη στο δάσος της Λεμεσού. Το πέτρωμα δουνίτης έχει μεγάλη ανάπτυξη γύρω από την κορυφή του Ολύμπου με προέκταση προς την περιοχή Αγίου Νικολάου Κακοπετριάς, όπου υπάρχουν και τα μεγαλύτερα κοιτάσματα χρωμιτών. Ο δουνίτης αποτελείται σχεδόν εξ ολοκλήρου από το ορυκτό ολιβίνη. Μπορεί όμως να περιέχει και σε μικρό ποσοστό χρωμίτη και κλινοπυρόξενο. Το πάχος στην περιοχή αυτή κυμαίνεται μεταξύ 150 και 200 μέτρα. Το δουνίτη διαδέχεται προς τα πάνω ο βερλίτης, με μια ενδιάμεση ζώνη κλινοπυροξενικού δουνίτη. Ορυκτολογικά, ο βερλίτης αποτελείται από ολιβίνη (40 - 90%) και κλινοπυρόξενο (10 - 60%) καθώς και μικρό ποσοστό χρωμίτη (0 - 2%). Σε μερικές περιπτώσεις συμμετέχει και πλαγιόκλαστο με ποσοστό μέχρι 10%. Ο βερλίτης μεταπίπτει προς τα άνω σε πυροξενίτη και στη συνέχεια σε γάββρους. Οι γάββροι περιλαμβάνουν τους μελαγάββρους, ολιβινικούς γάββρους και πυροξενικούς γάββρους ανάλογα με την ορυκτολογική τους σύσταση. Πάνω από τους γάββρους και υπό μορφή μικρών ασυνεχών εμφανίσεων βρίσκεται ο πλαγιογρανίτης και μετά ακολουθεί το Σύστημα Πολλαπλών Φλεβών.

4.2 Γεωλογικές/γεωτεγνικές συνθήκες του υπεδάφους στο γώρο .

4.2.1 Ακολουθία των εδαφολογικών οριζόντων

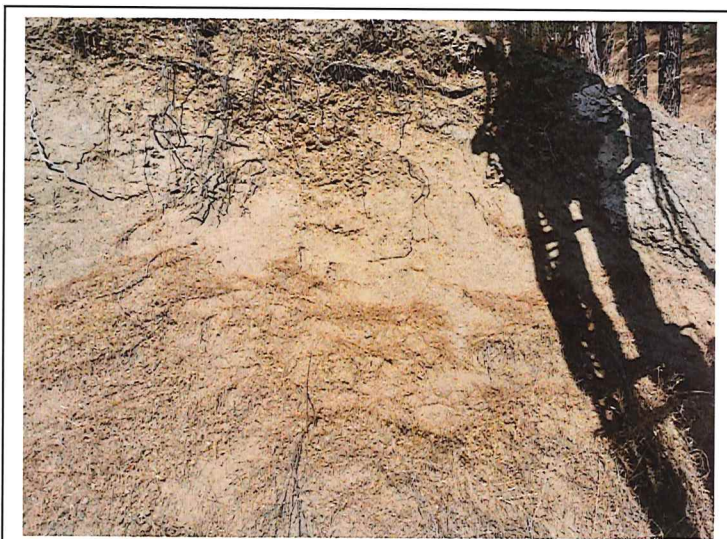
Για σκοπούς παρουσίασης στις γεωλογικές τομές και αναφοράς στα μηχανικά τους χαρακτηριστικά, έχουν ομαδοποιηθεί σε δύο βασικούς ορίζοντες, περισσότερες όμως λεπτομέρειες για κάθε στρώση ξεχωριστά δίνονται στις λεπτομερείς περιγραφές των γεωτρήσεων

(α) προσγώσεις

Επιφανειακό έδαφος - Κορήματα

Τα κορήματα αποτελούν γενικά επιτόπιες πλευρικές συγκεντρώσεις του υλικού διάβρωσης του υποκείμενου στρώματος. Συνήθως αποτελούνται από γκρίζα μέχρι καστανή, χαλαρή άμμο με μερική ιλύ και διάσπαρτες, οφιολιθικής προέλευσης ψηφίδες / γωνιώδεις χάλικες διαφόρου μεγέθους και σχήματος.

Η διάταξή τους είναι ακανόνιστη, δηλαδή χωρίς διαβάθμιση και η περιεκτικότητά τους σε άργιλο πολύ χαμηλή. Γενικά, χαρακτηρίζονται, επίσης, από μεταβλητή σχετική πυκνότητα με επικρατέστερες τις μεσόπυκνες συνθήκες που βαθμιαία (με αυξανόμενο βάθος) μεταβάλλονται σε πυκνές. Τα κορήματα, λόγω του είδους τους, δημιουργούν συνθήκες πολύ υψηλής διαπερατότητας, και είναι δυνατό να προκαλέσουν προβλήματα διαφορικών καθίζησεων



(β) έντονα τεκτονισμένη βραχομάζα

Αποτελείται από πυριγενή πετρώματα έντονα ρηγματωμένα και αποσαρθρωμένα με πολύ καλές μηχανικές ιδιότητες .

4.2.2. Μηχανικά χαρακτηριστικά του υπεδάφους

Γεωτεγνικοί Ορίζοντες

Ορίζοντας 1 : ίλυσης άμμος με γαλίκια :

Τα όρια υδαρότητας είναι της τάξης του 30-34 με δείκτη πλαστικότητας μη πλαστικό πράγμα που κατατάσσει τα εδάφη αυτά στη κατηγορία των ανόργανων αργύρων / ίλυς χαμηλής πλαστικότητας (τύπος εδάφους ML στο διάγραμμα πλαστικότητας Casagrande)

Με βάση το διάγραμμα Skempton για κατάταξη των εδαφών στις διάφορες κατηγορίες κινδύνου από την παρουσία πλαστικών αργιλικών ορυκτών μπορούν να θεωρηθούν σαν ανενεργές (inactive) .

Οι δοκιμές πρότυπης διείσδυσης έδωσαν τιμές της τάξης των 34-41 κτύπων ανά 30 cm διείσδυσης . Με βάση λοιπόν τις πρότυπες δοκιμές διείσδυσης και της ύπαρξης κροκάλων κατατάσσονται στην **συμπαγή άμμο**.

Προτείνονται οι πιο κάτω συντελεστές

ΕΠΙΤΡΕΠΟΜΕΝΗ ΤΑΣΗ	- 2,5 kg/cm ²
	-ΚΟΚΚΩΔΗ
ΚΑΤΗΓΟΡΙΑ ΕΔΑΦΟΥΣ	- Γ
ΣΥΝΤΕΛΕΣΤΗΣ ΕΔΑΦΟΥΣ Ks	-50-100,000 KN/m ³
ΜΕΤΡΟ ΕΛΑΣΤΙΚΟΤΗΤΑΣ E_s	- 40-60.000 Kρα.
φ	- 35-40°
C	- 50-100 KN/M3.
γ	-18 KN/M3

ΟΡΙΖΟΝΤΑΣ 2 έντονα τεκτονισμένη βραχομάζα

Οι δοκιμές πρότυπης διείσδυσης έδωσαν τιμές μεγαλύτερες 60 κτύπων ανά 30cm διείσδυσης. Με βάση λοιπόν τις πρότυπες δοκιμές διείσδυσης κατατάσσονται στην ασθενή βραχομάζα.

Παρόλο που στην βραχομάζα δεν έχουν νόημα οι δοκιμές κατάταξης των εδαφών προσδιορίσαμε τα όρια υδαρότητας που είναι της τάξης του μη υδαρή -23 με δείκτη πλαστικότητας μη πλαστικό .

Το ειδικό βάρος είναι 2,63 και η φαινόμενη πυκνότητα 2,1

Προτείνονται οι πιο κάτω συντελεστές

ΕΠΙΤΡΕΠΟΜΕΝΗ ΤΑΣΗ - >4 kg/cm²

βραχώδη

ΚΑΤΗΓΟΡΙΑ ΕΔΑΦΟΥΣ - A

ΔΕΙΚΤΗΣ ΕΔΑΦΟΥΣ Ks - 100-300,000 KN/μ3

ΜΕΤΡΟ ΕΛΑΣΤΙΚΟΤΗΤΑΣ E - 100-140.000 KPA

φ - >40°

γ - 21 KN/μ3

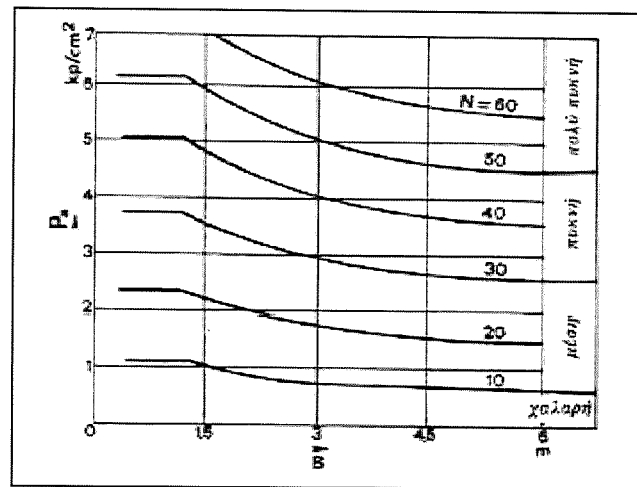
C - >200 KN/M3.

Οι προτεινόμενοι συντελεστές εξήγηθηκαν από τις δόκιμες SPT και την βοήθεια των πινάκων όπως εξηγείται πιο κάτω.

- Η μέγιστη επιτρεπόμενη φόρτιση

Οι Terzaghi & Peck (1948) λαμβάνοντας υπόψη τα αποτελέσματα καθίζησεων, τα αποτελέσματα δοκιμών φόρτισης πλάκας και πρότυπων δοκιμών διείσδυσης SPT, πρότειναν το παρακάτω εμπειρικό διάγραμμα (Σχήμα 5.1.5-1), για τον υπολογισμό της επιτρεπόμενης τάσης σε αμμώδη εδάφη.

Αξίζει να σημειωθεί ότι η χρήση του διαγράμματος εξασφαλίζει μέγιστη καθίζηση μικρότερη των 2,54cm (1 ίντσα), προϋποθέτει όμως ο υπόγειος ορίζοντας να βρίσκεται σε βάθος τουλάχιστον B από τη στάθμη θεμελίωσης.



Ενδεικτικές τιμές επιτρεπόμενων τάσεων κατά τους Βρετανικούς Κανονισμούς (Craig, BS 8004:1986)	
Τύπος εδάφους	Επιτρεπόμενη τάση (σε kPa)
Πυκνό χαλικί ή αμμοχάλικο	≥600
Χαλικί ή αμμοχάλικο μέσης πυκνότητας	200-600
Χαλίκι ή αμμοχάλικο χαλαρό	≤200
Πυκνή άμμος	≥300
Άμμος μέσης πυκνότητας	100-300
Χαλαρή άμμος	≤100
Πολύ σκληρή άργιλος	300-600
Στιφρή άργιλος	150-300
Μέσης συνεκτικότητας άργιλος	75-150
Μαλακές άργιλοι και ιλύες	≤75
Πολύ μαλακές άργιλοι και ιλύες	...

- Ο συντελεστής εδάφους KS - $KN/\mu 3$

Οι Terzaghi, Bowles & Retit λαμβάνοντας υπόψη αποτελέσματα δοκιμών φόρτισης πλάκας κατέληξαν σε ενδεικτικές τιμές του δείκτη ks για διάφορα εδάφη, οι οποίες βέβαια πριν χρησιμοποιηθούν απαιτούν τις κατάλληλες διορθώσεις.

Τιμές του ks — σε MN/m^3 - κατά TERZAGHI (τιμές από δοκιμαστική πλάκα $0.30 \times 0.30 m$)		
ΑΜΜΟΣ	Ορια ks	Μέση τιμή ks
Χαλαρή (NSPT:10)	6.4 - 19.2	12.9
Μέση (10-Nspt:30)	19.2 - 96.2	41.7
Πυκνή (30-Nspt)	96.2 - 321.0	161.0

Για ξερή άμμο οι παραπάνω τιμές πολλαπλασιάζονται επί 1.5, ενώ για βυθισμένη επί 0.60.

Τιμές του ks — σε MN/m^3 - κατά TERZAGHI (τιμές από δοκιμαστική πλάκα $0.30 \times 0.30 m$)		
ΑΡΓΙΛΟΣ (cu σε kPa)	Ορια ks	Μέση τιμή ks
στιφρή (100-cu:200)	16.2 - 32.1	24.1
πολύ στιφρή (200-cu:400)	32.1 - 64.2	48.2
σκληρή (400-cu)	>96.0	96.4

Τιμές του ks — σε MN/m^3 - κατά BOWLES (τιμές από δοκιμαστική πλάκα $0.30 \times 0.30 m$)		
ΕΔΑΦΟΣ	Σε πιεστή κατάσταση	Σε χαλαρή κατάσταση
Χαλίκια		
GW	150-200	50-100
GP	100-200	50-100
GC	80-150	
GM	50-150	
Αμμος		
SW	60-150	10-30
SP	50-80	10-30
SC	60-150	
SM	30-80	
Αργιλος	(1.5+4.5)*q_u γενικώς	

Τιμές του ks — σε MN/m^3 - κατά RETTIT (τιμές από δοκιμαστική πλάκα $0.30 \times 0.30 m$)	
ΕΔΑΦΟΣ	Τιμές του ks σε MN/m^3
Πύρη - οργανικό	6-18
Φρέσκο επίχρωμα ή ιριτισμένη γη	10-15
Αργιλος μηρή μαλακή	20-35
λίγη μηρή	30-60
έστρι	50-90
έστρι και αιθληρή	100-150
έστρι με λάγη	80-100
σημείο	
Αμμος χαλαρή	20-40
μέση	80-100
πυκνή	120-150
πολύ λεπτή (ελική)	15-30
Χαλίκια λεπτό με άμμο	100-150
μεσαία με άμμο	120-150
τοντρό με άμμο	150-240

- Τιμές του μέτρου συμπιεστότητας Es κατά Bowles Έδαφος Es (MPa)

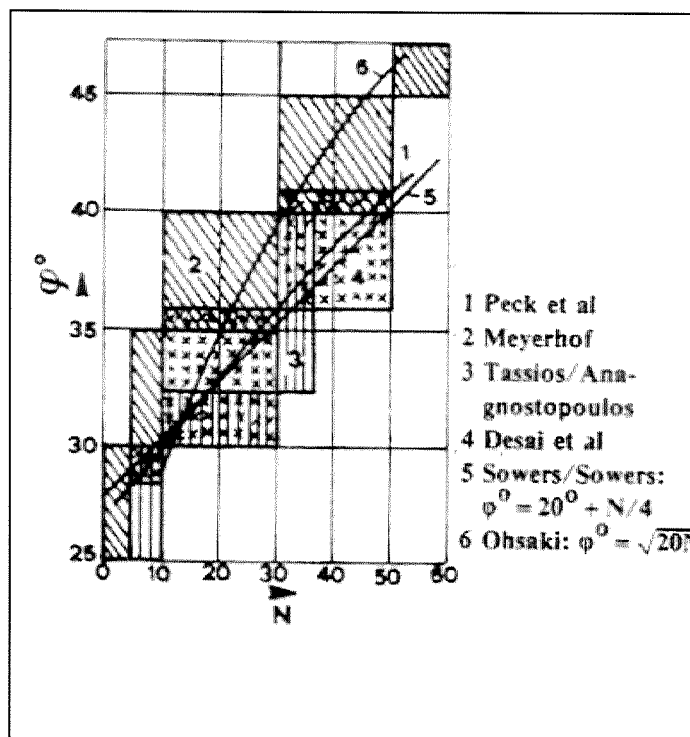
Έδαφος Es	(MPa)
Μαλακή άργιλος	0,3 – 5
Μέσης συνεκτικότητας άργιλος	4,5 – 9
Σκληρή άργιλος	7 – 20
Ιλύς	2 – 20
Χαλαρή άμμος	10 – 25
Λεπτή ιλυώδης άμμος	5 – 18
Ιλυώδης άμμος	5 – 20
Πυκνή άμμος	50 – 100
Αμμοχάλικο	80 – 300
Σχιστόλιθος	140 - 1400

- Γωνία Εσωτερικής Τριβής φ

για τον προσδιορισμό της γωνίας εσωτερικής τριβής φ ψαθυρών εδαφών (αμμώδεις και αμμοϊλυνώδεις στρώσεις), υπάρχουν διάφορες εμπειρικές σχέσεις, οι οποίες βέβαια δεν είναι απόλυτα ακριβείς.

Στον πίνακα και στα σχήματα που ακολουθούν, δίνονται σχέσεις σύνδεσης του αριθμού NSP T με την γωνία εσωτερικής τριβής φ

N-SPT	Κατάσταση υλικού	φο
0 - 4	Πολύ χαλαρή	27 – 32
4 - 10	Χαλαρή	30 – 35
10 -30	Μέση	35 - 40
30 -50	Πυκνή	38 – 43
> 50	Πολύ πυκνή	> 40



Πίνακας -Συνσχέτιση NSP T - φ

(Terzaghi & Peck, 1948)

- **Αστράγγιστη Διατμητική Αντοχή**

Μια χοντρική εκτίμηση, σε όπι αφορά τα συνεκτικά εδάφη, της αστράγγιστης διατμητικής αντοχής c_u από τον αριθμό **NSP T** δόθηκε από τους Terzaghi & Peck (1948), όπως φαίνεται στον παρακάτω πίνακα και συνδέει τις δύο τιμές με την σχέση:

- $c_u = 6,2 * \text{NSPT} (\text{KPa})$

NSPT cu	(KPa)
< 2	12,5
2 - 4	12,5 - 25
4 - 8	25 - 50
8 - 15	50 - 100
15 - 30	100 - 200
> 30	> 200

Οι παραπάνω σχέσεις συσχέτισης χρησιμοποιούνται με μεγάλη προσοχή και εφόσον υπάρχουν περιθώρια ασφαλείας. Οι Terzaghi & Peck επεσήμαναν εξάλλου το ενδεχόμενο σημαντικών αποκλίσεων στις οποίες μπορεί να οδηγήσει η χρήση του παραπάνω πίνακα.



4.2.3. Υδρογεωλογικές συνθήκες

Υπόγειο νερό δεν συναντήθηκε

Επί τόπου δοκιμές υδροπερατότητας δεν έχουν γίνει αλλά με βάση τη συμπύκνωση των εδαφών και τη κοκκομετρικής τους διαβάθμιση και σε αναλογία με άλλες παρόμοιες περιοχές, παρόμοιας εδαφολογικής σύστασης, όπου υπάρχουν στοιχεία, μπορούμε να πούμε πως η υδροπερατότητα των ιζημάτων αυτών στις προσχώσεις είναι πολύ υψηλή ενώ στην βραχομάζα πολύ χαμηλή.

Ενδεικτικές τιμές υδροπερατότητας από βιβλιογραφία

- Μίγμα ιλύος άμμου και χαλικιών 0.68 m/day
- Άμμοιλύες 0.5 m/day
- Άμμούχες, Αργιλικές Ιλύες 0.09 m/day

4.2.4. Συνθήκες εκσκαφής

Γενικά τα εδάφη μπορούν να χαρακτηρισθούν σαν σκληρά και μπορούν να σκαφτούν με εκσκαφείς μεγάλης δυναμικότητας λόγω των πολλών ασυνεχειών .

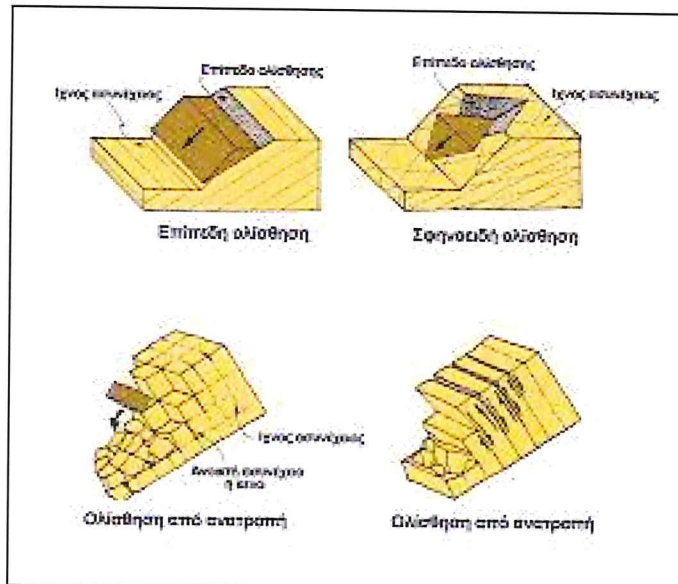
Τα υλικά εκσκαφής είναι κατάλληλα για επιχωματώσεις αν θραυτούν.

5. ΣΥΜΠΕΡΑΣΜΑΤΑ ΕΙΣΗΓΗΣΕΙΣ

Στο καθορισμό της μέγιστης επιτρεπόμενης φόρτισης, πέραν των επί τόπου και εργαστηριακών δοκιμών, πρέπει να λαμβάνεται υπόψη η συνολική εικόνα που παρουσιάζει το υπέδαφος, όπως η τυχόν παρουσία συμπιεστών στρώσεων, η διάβρωση /αποσάθρωση: η συχνότητα, η διάταξη, κλίση και το είδος των διακλάσεων, η παρουσία, διακυμάνσεις της στάθμης του νερού και η δυνατότητα διάλυσης των εδαφών από το νερό, η κλίση των στρώσεων κλπ. Ένας άλλος σημαντικός παράγοντας είναι το είδος και το συνολικό βάρος της οικοδομής.

Στη βάση λοιπόν των πιο πάνω σχολίων, των αποτελεσμάτων της έρευνας και της εμπειρίας μας, μπορεί να διεξαχθεί η πιο κάτω συζήτηση :

- Η φέρουνσα ικανότητα των κοκκωδών, μη συνεκτικών εδαφών είναι συνήθως ψηλή. Τονίζεται όμως πως ο καθορισμός της μέγιστης επιτρεπόμενης φόρτισης γίνεται με βάση τη καθίζηση που μπορεί να επέλθει από την φόρτιση παρά την ίδια την αντοχή του εδάφους. Επομένως ο καθορισμός της επιτρεπόμενης φόρτισης πρέπει να γίνει με βάση τη σχέση καθίζησης και φόρτισης, τη συγκεκριμένη δηλαδή καθίζηση που θα προκαλέσει η συγκεκριμένη φόρτιση. Η σχέση αυτή μπορεί απλά να ληφθεί με τη βοήθεια των προτύπων δοκιμών διείσδυσης, σχέση που έχει καθορισθεί από τον πατέρα της γεωμηχανικής Κ. Τερζάκη, και αναπτύχθηκε αργότερα και από άλλους μελετητές .
- Προς εξουδετέρωση του προβλήματος της μεγάλης διαφορετικότητας που παρατηρείτε στις αλλονβιακές προσχώσεις και άλλα παρόμοια εδάφη, επιλέγεται σαν μέγιστη επιτρεπτή φόρτιση, εκείνη που μπορεί να προκαλέσει μέγιστη καθίζηση 25 χιλ. στο πέδιλο που θα υποστεί τη μεγαλύτερη φόρτιση, χρησιμοποιώντας τη χαμηλότερη τιμή που λαμβάνεται από τις πρότυπες δοκιμές διεισδύσεως. Στη πραγματικότητα δε η διαφορά των καθίζησεων μεταξύ των πεδίλων θα είναι μικρότερη από 25 χιλ. εφ' όσον όλα τα πέδιλα θα υποστούν στο τέλος κάποια καθίζηση. Τέτοιου μεγέθους καθίζησεις θεωρούνται ανεκτές, ιδιαίτερα. στα μη συνεκτικά εδάφη, όπου οι καθίζησεις είναι ουσιαστικά άμεσες, και λαμβάνουν χώρα κατά την διάρκεια της ανέγερσης της οικοδομής.
- Με βάση τα πιο πάνω μπορεί να χρησιμοποιηθούν οι συντελεστές που δόθηκαν πιο πάνω για φόρτιση σε βάθος μισού μέτρου για πέδιλα με τουλάχιστον ενάμισι μέτρο πλάτος .
- Λόγο της μεγάλης κλίσης του οικοπέδου πρέπει οι τοίχοι αντιστήριξης που θα κατασκευαστούν για δημιουργηθούν αναβαθμίδες να εδράζονται στον ορίζοντα 2 και σε ικανοποιητικό βάθος ούτως ώστε να υπάρχει ικανοποιητικό έδαφος (βράχος)κατάντη για να παραλάβει τις τάσεις .



■ Όλες οι εκσκαφές πρέπει να αντιστηρίζονται διότι πάντα υπάρχει το ενδεχόμενο ολίσθησης της βραχομάζας

Στην περίπτωση μας έχουμε φυσικό πρανές που υπάρχει εκεί χωρίς ουσιώδες πρόβλημα για πολλές δεκάδες χρόνια οπόταν εκ των πραγμάτων η βραχομάζα μας είναι καλή.

Οι μέθοδοι κατάταξης της βραχομάζας είναι για σκοπούς διάνοιξης σήραγγας η εκσκαφής.

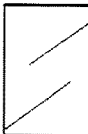
■ Ταξινόμηση κατά GSI για τη βραχόμαζα

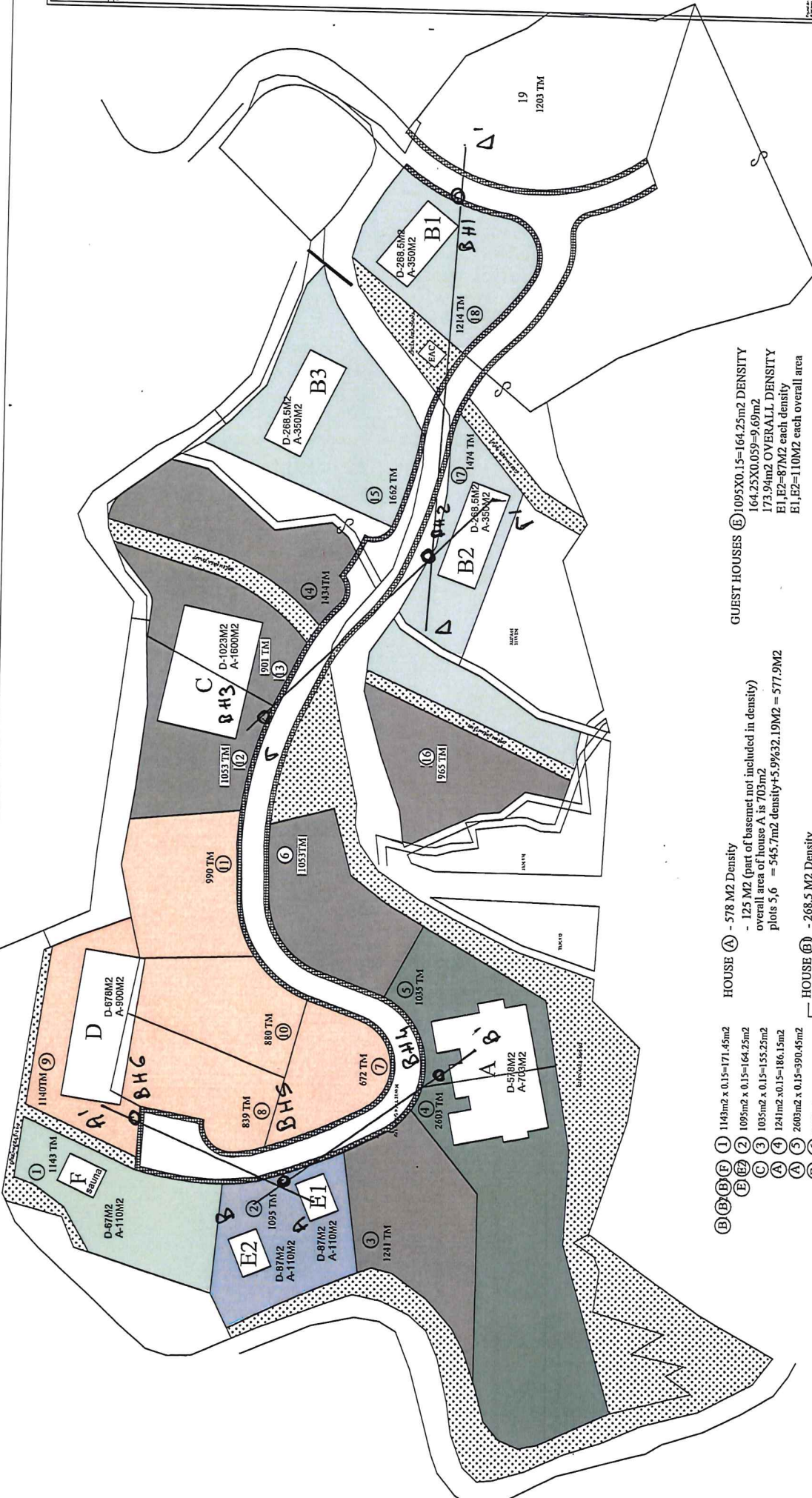
Ο προσδιορισμός του Δείκτη Γεωλογικής Αντοχής GSI πραγματοποιήθηκε όπως περιγράφεται από τους Hoek et al. (1995) και Hoek & Marinos (2001), έτσι ώστε να προσδιοριστούν οι αντιπροσωπευτικές γεωτεχνικές παράμετροι για τις τεχνικογεωλογικές συνθήκες που συναντήθηκαν.

Για τον άμεσο χαρακτηρισμό της βραχόμαζας λήφθηκε υπόψη η κατάσταση που παρουσίασε ως προς τη δομή της αλλά και ως προς τον τεμαχισμό της από τις ασυνέχειες που αναπτύσσονται στο εσωτερικό της. Με αυτό τον τρόπο έγινε λεπτομερής κατάταξη των πετρωμάτων και καθορίστηκε ο δείκτης γεωλογικής αντοχής.

Για τον ποιοτικό προσδιορισμό του GSI χρησιμοποιήθηκε ο πίνακας.

Η εκτίμηση του εύρους του GSI είναι 40-50 για τον πρώτο αποσαρθρωμένο ορίζοντα βάθους 1-3 μέτρων και 50-60 για το υγιές πέτρωμα.

<p>ΓΕΩΛΟΓΙΚΟΣ ΔΕΙΚΤΗΣ ΑΝΤΟΧΗΣ ΣΕ ΡΗΓΜΑΤΩΜΕΝΟΥΣ ΒΡΑΧΟΥΣ (Hoek and Marinos, 2000)</p> <p>Βασιζόμενοι στην εμφάνιση της βραχόμαζας (περιγραφή δομής και κατάσταση επιφάνειας ασυνέχειών) εκτιμήστε τη μέση τιμή του GSI, χωρίς υποχρεωτικά μεγάλη ακρίβεια. Το να επιλέξετε ενα εύρος τιμών από 33 ως 37 είναι πιο ρεαλιστικό από το να δήλωσετε ότι $GSI=35$. <u>Σημειώνεται ότι ο Πίνακας δεν εφαρμόζεται σε κινηματικά ελεγχόμενες αστάθειες.</u> Στην περίπτωση που οι ασθενείς επίπεδες επιφάνειες έχουν μη ευνοϊκό προσανατολίσμο σε σχέση με το πρανές εκσακαφής, τότε αυτές καθορίζουν την συμπεριφορά της βραχόμαζας. Η διατμητική αντοχή επιφανειών σε βράχους που υπόκεινται σε εξασθένιση λόγω διακύμανσης της περιεκτικότητας σε υγρασία, είναι περαιτέρω μειωμένη όταν υπάρχει νερό. Οταν, οι βραχόμαζες ανήκουν στις μέτριες έως πιτωχές κατηγορίες και υπάρχει νερό τότε μετακινούμαστε προς τα δέξια. Η υδροστατική πίεση λαμβάνεται υπόψη με την ανάλυση ενεργών τάσεων.</p> <p>ΔΟΜΗ</p>	<p>ΚΑΤΑΣΤΑΣΗ ΕΠΙΦΑΝΕΙΑΣ ΑΣΥΝΕΧΕΙΑΣ</p> <p>ΠΟΛΥ ΚΑΛΗ Η πολύ τραχίες, μη αποσαθρωμένες επιφάνειες</p> <p>ΚΑΛΗ Τραχίες, ελαφρά αποσαθρωμένες ή σεισθρωμένες επιφάνειες</p> <p>ΜΕΤΡΙΑ Λείες, μετρίως αποσαθρωμένες και εξαλοιωμένες επιφάνειες</p> <p>ΓΙΤΟΧΗ Επιφάνειες αλισθητούς, πολύ αποσαθρωμένες με γυανώδη συμπαγή επιφλοιαμάτα ή υιοκό πλήρωσης θραύσματος</p> <p>ΠΟΛΥ ΠΤΩΧΗ Επιφάνειες αλισθητούς πολύ αποσαθρωμένες με μαλακό αργιλό ουλικό πλήρωσης</p>																		
	<p>ΜΕΙΟΥΜΕΝΗ ΠΟΙΟΤΗΤΑ ΑΣΥΝΕΧΕΙΩΝ →</p> <table border="1"> <thead> <tr> <th>ΛΕΙΟΥΜΕΝΟ ΑΛΛΗΛΟΚΛΕΙΔΩΜΑ ΤΩΝ ΒΡΑΧΟΔΩΝ ΤΕΜΑΧΩΝ</th> <th>90</th> <th>80</th> <th>70</th> <th>60</th> <th>50</th> <th>40</th> <th>30</th> <th>20</th> </tr> </thead> <tbody> <tr> <td></td> <td>N/A</td> <td>N/A</td> <td></td> <td></td> <td></td> <td></td> <td></td> <td></td> </tr> </tbody> </table>	ΛΕΙΟΥΜΕΝΟ ΑΛΛΗΛΟΚΛΕΙΔΩΜΑ ΤΩΝ ΒΡΑΧΟΔΩΝ ΤΕΜΑΧΩΝ	90	80	70	60	50	40	30	20		N/A	N/A						
ΛΕΙΟΥΜΕΝΟ ΑΛΛΗΛΟΚΛΕΙΔΩΜΑ ΤΩΝ ΒΡΑΧΟΔΩΝ ΤΕΜΑΧΩΝ	90	80	70	60	50	40	30	20											
	N/A	N/A																	
 <p>INTACT OR MASSIVE - Άρρηκτα βραχώδη τεμάχη ή άστρωτος βράχος με λίγες ασυνέχειες σε μεγάλη απόσταση</p>																			
 <p>BLOCKY - Αδιατάρακτη βραχόμαζα με πολύ καλό αλληλοκλείδωμα που αποτελείται από κυβικά τεμάχη οριζόμενα από τρεις ορθογώνια τεμνόμενες οικογένειες ασυνέχειών</p>																			
 <p>VERY BLOCKY - Μερικώς διαταραγμένη βραχόμαζα με πολύπλευρα γωνιώδη τεμάχη (blocks) που σχηματίζονται από τέσσερις ή περισσότερες οικογένειες ασυνέχειών</p>																			
 <p>BLOCKY/DISTURBED/SEAMY Πυκνωμένη με γωνιώδη τεμάχη που σχηματίζονται από πολλές αλληλοτεμνόμενες οικογένειες ασυνέχειών. Εμμονή στρώσης ή σχιστότητας</p>																			
 <p>DISINTEGRATED - Ισχυρά κερματισμένη βραχόμαζα με πτωχό αλληλοκλείδωμα και με ταυτόχρονη παρουσία νιανινιδών και αποστον-</p>																			



GUEST HOUSES (1095m² x 0.15 = 164.25m² DENSITY)
 164.25m² x 0.059 = 9.69m²
 173.94m² OVERALL DENSITY
 E1,F2=87m² each density
 E1,F2=110m² each overall area

CLUB (823.95m² x 0.15 = 123.59m² DENSITY)
 123.59m² (part of basement not included in density)
 overall area of club is 1600 m²

HOUSE (B) - 268.5 M2 Density
 - 81.5 M2 (part of basement not included in density)
 overall area of house B1 is 330m²
 plots 1,15,17,18 = 823.95m² density
 +0.059x 823.95m² density = 872.55m²

HOUSE (B) - 268.5 M2 Density
HOUSE (B) - 268.5 M2 Density

HOUSE (D) - 678 M2 Density
 - 222 M2 (part of basement not included in density)
 overall area of house D is 900m²
 plots 7,8,9,10,11 = 679.05m² density

HOUSE (E) - 67 M2 Density
 - 33 M2 (part of basement not included in density)
 overall area of F sauna is 110 m²

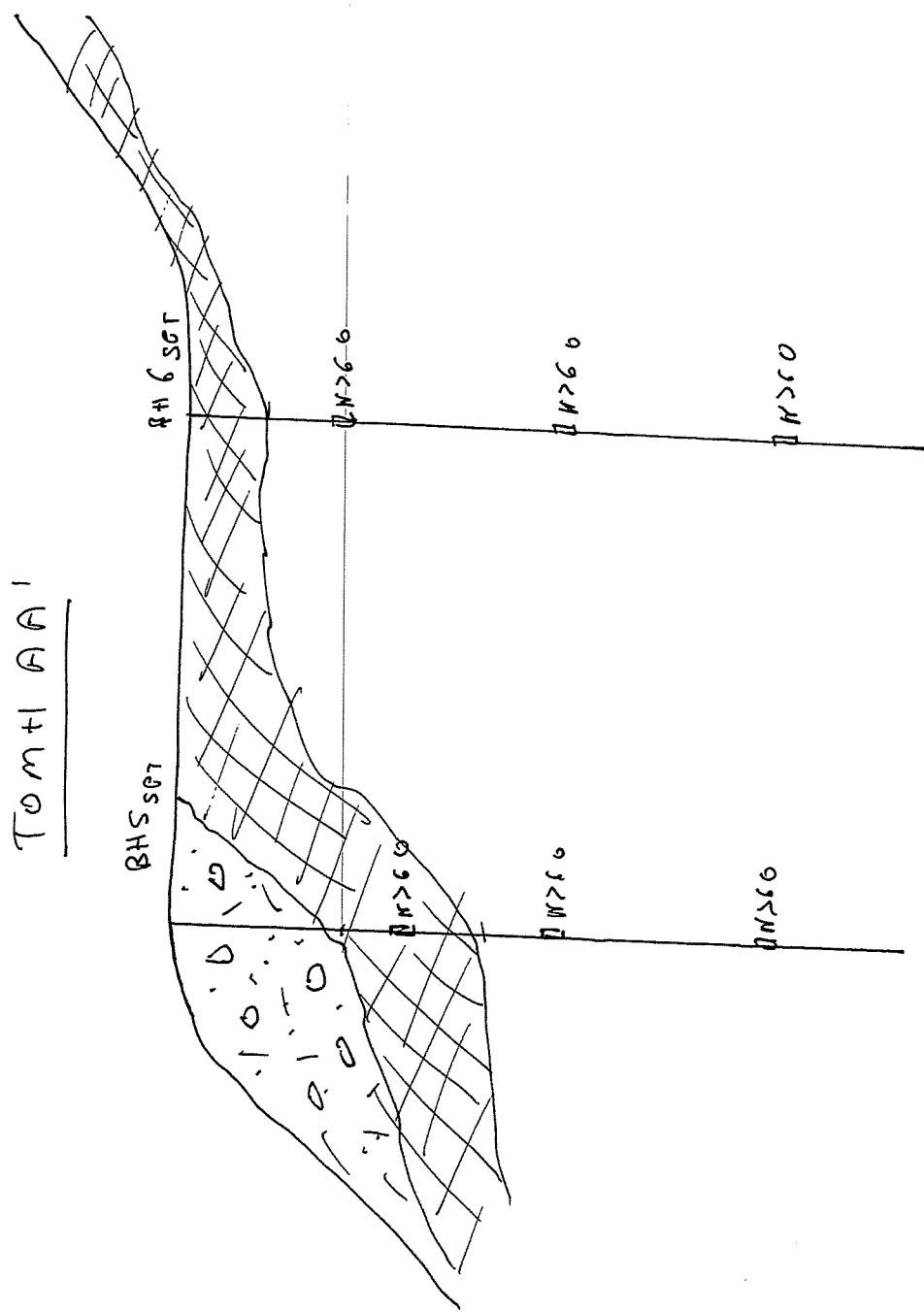
B1 (B) (B) (F) (L) 1474m² x 0.15=221.1m²

B1 (B) (B) (F) (L) 1652m² x 0.15=249.3m²

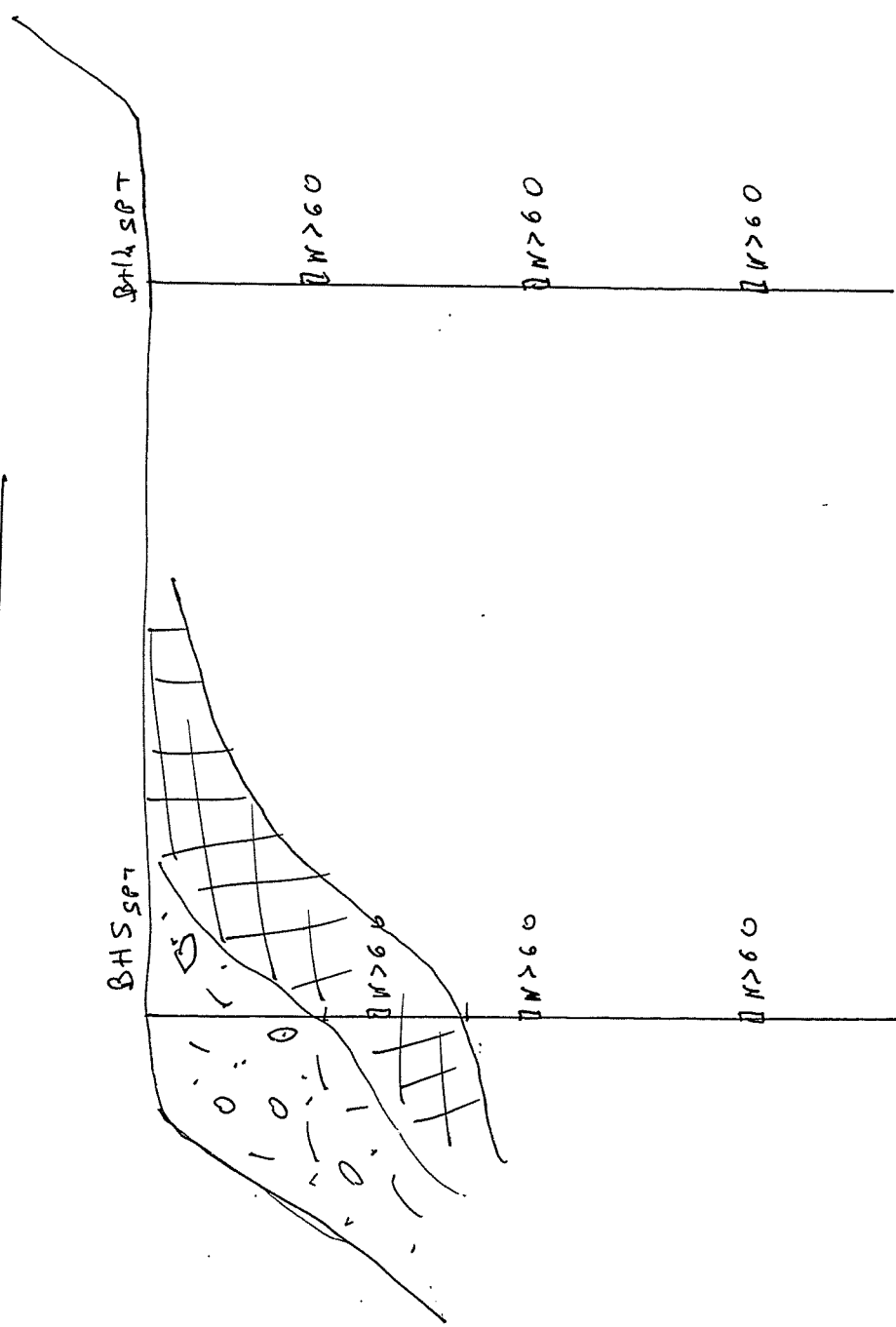
B1 (B) (B) (F) (L) 1214m² x 0.15=182.1m²

KTHM. ΦΑΚΕΛΟΥ : AX-720
 N / SHEET : 47/11
 T NUMBER : 932-934
 TRCT : PANO PLATRES

Tom +1 Day



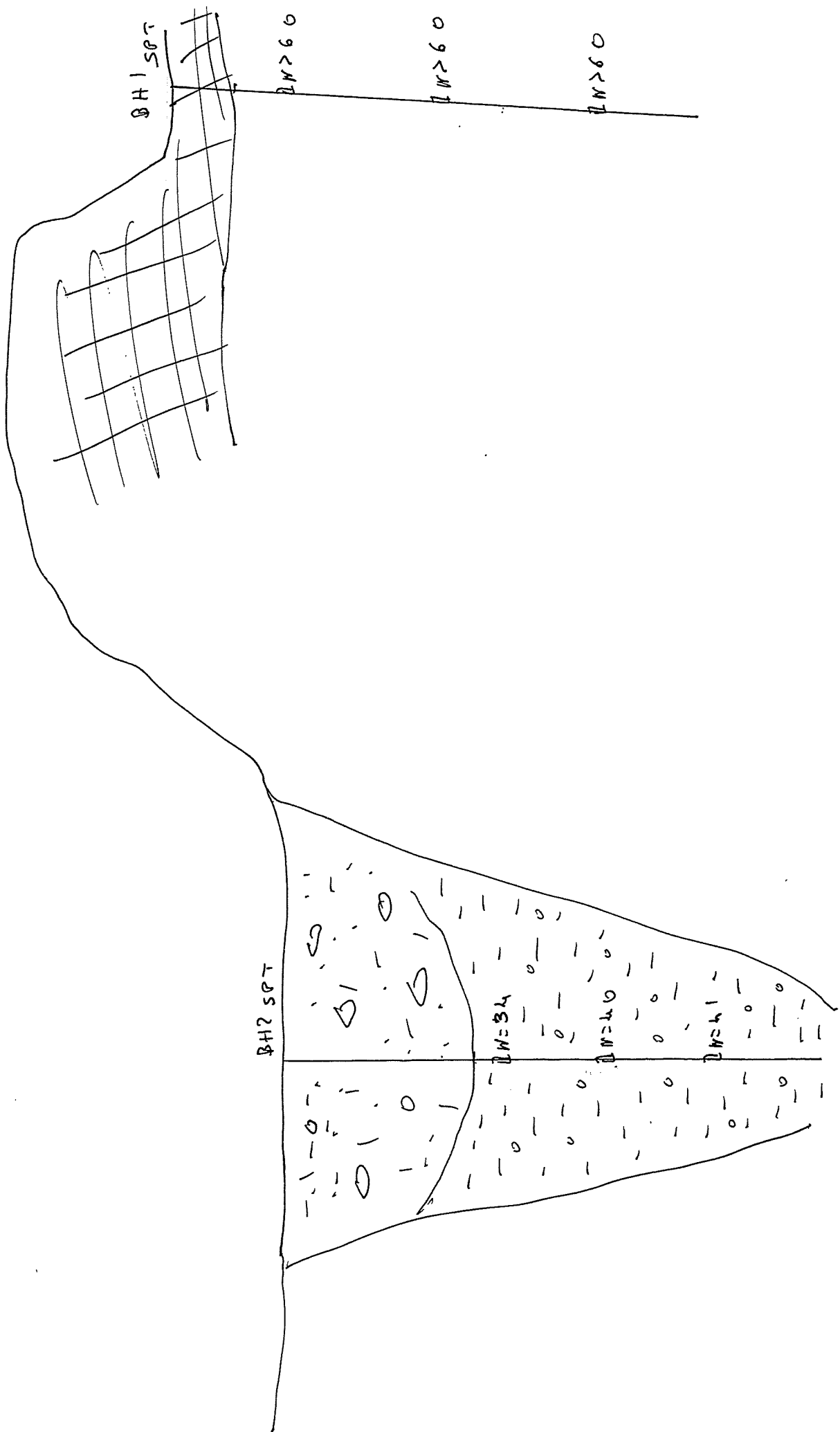
TOM H @ B'



TO MH FR



TOMA DON'

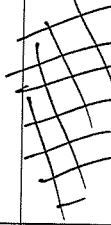


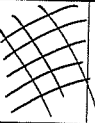
BOREHOLE LOG		BH1				
PROJECT		plates	Checked by COSTAS PHOTI- GEOLOGIST			
DATE STARTED		22-9-21				
DATE COM/TED		22-9-21				
DEPTH M	BH PROF.	DESCRIPTION OF STRATA				
			LL	PL	PI	MC %
0-1,20		Αποσαθρωμένη βραχομάζα .				3,2
1,20-10,00		Έντονα τεκτονισμένη βραχομάζα (γάβρος).	-	-	-	3,5
						2,00-2,45 άρνηση N>60 (30EK.)
						5,00-5,45 άρνηση N>60 (30EK.)
						3,3 8,00-8,45 άρνηση N>60 (30EK.)

BOREHOLE LOG		BH3					
PROJECT		plantes	Checked by				
DATE STARTED		22-9-21	COSTAS PHOTI-GEOLOGIST				
DATE COM/TED		22-9-21					
DEPTH M	BH PROF.	DESCRIPTION OF STRATA					SPT DESCRIPTION OF DISCONTINUITIES
0-10,00		Έντονα τεκτονισμένη βραχομάζα (γάβρος).	-	-	-	2,2	2,00-2,45 άρνηση N>60 (30EK.)
						3,4	5,00-5,45 άρνηση N>60 (30EK.)
						2,8	8,00-8,45 άρνηση N>60 (30EK.)

BOREHOLE LOG		BH4					
PROJECT		plâtres	Checked by COSTAS PHOTI-GEOLOGIST				
DATE STARTED		22-9-21					
DATE COM/TED		22-9-21					
DEPTH M	BH PROF.	DESCRIPTION OF STRATA					SPT DESCRIPTION OF DISCONTINUITIES
0-10,00		Έντονα τεκτονισμένη βραχομάζα (γάβρος).	-	-	-	2,1	2,00-2,45 άρνηση N>60 (30EK.)
						2,4	5,00-5,45 άρνηση N>60 (30EK.)
						3,1	8,00-8,45 άρνηση N>60 (30EK.)

BOREHOLE LOG		BH5	
PROJECT	platres	Checked by	
DATE STARTED	22-9-21	COSTAS PHOTI-GEOLOGIST	
DATE COM/TED	22-9-21		

DEPTH M	BH PROF.	DESCRIPTION OF STRATA					SPT DESCRIPTION OF DISCONTINUITIES
			LL	PL	PI	MC %	
0-2.40		Επιχωμάτωση .				12,4	
2,40- 4,30		Αποσαθρωμένη βραχομάζα .				3,3	3,00-3,45 άρνηση N>60 (30EK.)
4,30- 10,00		Έντονα τεκτονισμένη βραχομάζα (γάβρος).	-	-	-	2,8	5,00-5,45 άρνηση N>60 (30EK.)
						3,7	8,00-8,45 άρνηση N>60 (30EK.)

BOREHOLE LOG		BH6					
PROJECT		plates	Checked by				
DATE STARTED		22-9-21	COSTAS PHOTI-GEOLOGIST				
DATE COM/TED		22-9-21					
DEPTH M	BH PROF.	DESCRIPTION OF STRATA					SPT DESCRIPTION OF DISCONTINUITIES
0-1.10		Αποσαθρωμένη βραχομάζα .	23	-	-	4,9	
1,10-10,00		Έντονα τεκτονισμένη πρασινωπή βραχομάζα (γάβρος).	-	-	-	2,4	2,00-2,45 άρνηση N>60 (30EK.)
						2,7	5,00-5,45 άρνηση N>60 (30EK.)
						3,5	8,00-8,45 άρνηση N>60 (30EK.)